

Lantano, gadolinio ir liutecio jonø hidratacijos tyrimas chloridø tirpaluose ultragarsinës interferometrijos metodu

B.Voleiðienë, G.Miglinienë, A.Voleiðis

Prof.K.Barðausko ultragarso mokslo centras
Kauno technologijos universitetas

Ávadas

Nepaisant lantanoidø tirpalø chemijoje laimëjimø, akvajono hidratacinio ir koordinacinio skaièiaus klausimas lig ðiol neiðspræstas. Tai sàlygoja ir netobuli tyrimo metodai, ir kita vertus, paëiø tirpalø prigimties sudëtingumas. Hidrataciniai reiðkiniai svarbùs sprendþiant daugelá teoriniø ir praktiniø klausimø, susijusiø visø pirma su individualiø jonø prigimtimi tirpale. Susidomëjimas retaisiais elementais ir jo naudojimas nuolat didëja, ypatè atominëje fizikoje, radiotechnikoje, metalurgijoje, biochemijoje.

Darbo tikslas - LaCl_3 , GdCl_3 ir LuCl_3 tirpalø hidrataciniø savybiø tyrimas. Ðios druskos pasirinktos dël to, kad lantanai, gadolinis ir liutecis vandeniniuose tirpaluose, netekë iðoriniø elektronø, ágauna pastovià konfigûracijà $4f^0$, $4f^7$ ir $4f^{14}$ ir sudaro trivalentiø jonus Ln^{3+} , kai tuo tarpu kiti lantanoidai dël $4f$ -elektronø buvimo elektroniniame apvalkalëlyje sudaro dalinius kovalentinius ryðius, dël ko pasekoje trivalentis efektyvus krûvis sumaþþja iki +(2,7±2,8).

Vandeniniuose tirpaluose lantanoidø jonai sudaro akvajonus $\text{Ln}(\text{H}_2\text{O})_n^{3+}$. Diskutuotinas klausimas - n skaièiaus reikðmë. Mes hidratacinius reiðkinius tyrinëjome naudodamiesi ultragarsiniaiš matavimais. Ultragarso greitis tirpaluose matuotas ultragarsiniu lazeriniu interferometru 0,001% tikslumu [1].

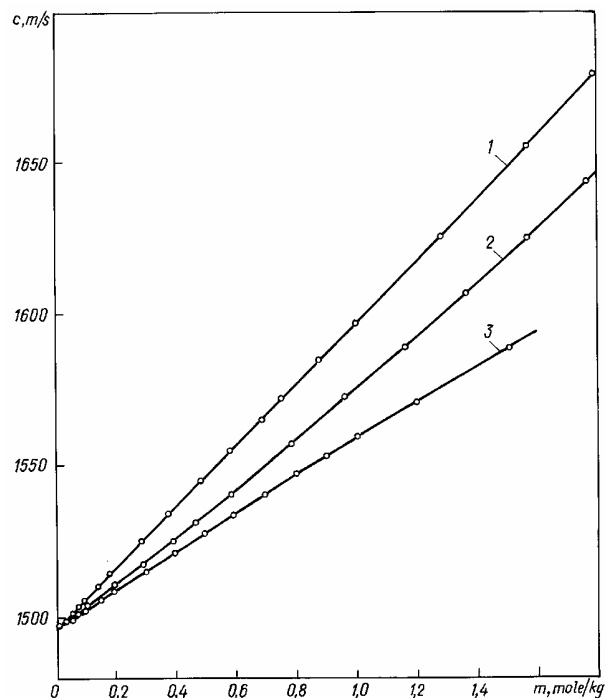
Eksperimentø rezultatai

1 pav. pavaizduotos LaCl_3 , GdCl_3 ir LuCl_3 tirpalø koncentracinës ultragarso greièio priklausomybës, esant temperatûrai 25,00°C. Kaip matyti, visos priklausomybës yra tiesinës, didþiausias greitis LaCl_3 tirpaluose. Ið ultragarso greièio ir tankio reikðmiø apskaièiuotas adiabatinis spûdumas $\beta=1/\rho c^2$. Tirpalø tankis matuotas kapiliariniu piknometru 0,01% tikslumu, taip pat apskaièiuotas pagal polinomà:

$$\rho = \rho_0 + A_1 m + A_2 m^{3/2} + A_3 m^2 + A_4 m^{5/2} + A_5 m^3, \quad (1)$$

ëia ρ_0 - tirpiklio tankis; m - koncentracija, iðreikðta moliai/1 kg tirpiklio, $A_1 \div A_5$ - empiriniai koeficientai. 1 lentelëje pateikiamas koeficientø A_i reikðmës.

Mûsø eksperimentiðkai nustatyto tankio reikðmiø paklaidos sutapo su apskaièiuotomis pagal polinomà (1).



1 pav. Koncentracinës ultragarso greièio priklausomybës: 1- LaCl_3 , 2- LuCl_3 , 3- GdCl_3

1 lentelë. Koeficientø A_i reikðmës (1)
tyrinëtiems tirpalams

A_i	LaCl_3	GdCl_3	LuCl_3
A_1	2,224751	0,246545	0,270202
A_2	0,002423	-0,004738	-0,008345
A_3	-0,021341	-0,011443	-0,005401
A_4	0,005968	0,001628	-0,002486
A_5	-0,000893	-0,000419	0,000425

Hidratacijos dydis nustatomas pagal ðià formulæ:

$$\lim_{c \rightarrow 0} \phi_k^0 = Z_0 \cdot \bar{V}_1 \beta_0, \quad (2)$$

ėia ϕ_k^0 - tariamas molinis spūdumas, ekstrapoliuotas nulinei koncentracijai; Z_0 - vandens molekulių skaičius pirmiuose hidratiniuose apvalkalėliuose, tariama, kad ūie nespūdūs, palyginant su laisvomis tirpiklio molekulėmis; \bar{V}_1^0 - parcialinės tirpiklio molinis tūris; β_0 - tirpiklio adiabatinis spūdumas.

Tariamas molinis spūdumas ir tariamas molinis tūris apskaičiuojami pagal ūias formules:

$$\varphi_k = \frac{1000}{m\rho_0}(\beta - \beta_0) + \beta\varphi_v, \quad (3)$$

$$\varphi_v = \frac{1000}{m\rho\rho_0}(\rho_0 - \rho) + \frac{M_2}{\rho}, \quad (4)$$

ėia ρ_0 , β_0 ir ρ , β - tankis ir spūdumas atitinkamai tirpiklio ir tirpalio, M_2 - elektrolito molekulinė masė, m - tirpalio koncentracija. Iðmatuotos ultragarso greičio ir tankio reikðmës, taip pat apskaičiuotos β , ϕ_k ir φ_v LaCl_3 , GdCl_3 ir LuCl_3 tirpalams pateikiamas 2-4 lentelëse.

Duomenø analizë ir iðvados

Elektrolitø tirpalø tariamas molinis tūris φ_v esant begaliniam praskiedimui φ_v^0 , lygus parcialiniam moliniui tūriui \bar{V}_2^0 . \bar{V}_2^0 iðreiðkia tirpalio tūrio pasikeitimą, kuris ávyksta, kai molis tirpinamas medþiagos ávedamas á

begaliniai praskiestà tirpalà. Kadangi joniniai radiusai lantanoidø eilëje kinta reguliarai, tiksliai nustaèius druskø tirpaluose \bar{V}_2^0 , gaunama informacija apie jonø ir tirpiklio sàveikà. Redlich ir Rosenfeld [2] nustatë teorinæ ϕ_v iðraiðkà, kuri galioja praskiestiems tirpalams:

$$\varphi_v = \varphi_v^0 + KW^{3/2}c^{1/2}, \quad (5)$$

ėia K - temperatûros, tirpiklio savybiø ir fundamentiniø konstanèiø funkcija, kai tirpiklis yra vanduo, esant temperatûrai 25°C , $K = 1,868$, W - valentinis faktorius, $3-1$ - valentiniams elektrolitams $KW^{3/2} = 27,44$. Taigi (5) lygtis ágauna ūia pavidalà:

$$\varphi_v = \varphi_v^0 + 27,44c^{1/2}. \quad (6)$$

Pagal ūia lygtá apskaiðiavome ϕ_v praskiestiems tirpalams (iki koncentracijos $c=0,01 \text{ mol/l}$) ir nustatëmë parcialiná moliná tûrâ \bar{V}_2^0 tyrinëtoms druskoms. LaCl_3 tirpalui $\bar{V}_2^0 = 14,7 \text{ cm}^3/\text{mol}\text{iui}$, GdCl_3 tirpalui $\bar{V}_2^0 = 13,3 \text{ cm}^3/\text{mol}\text{iui}$, LuCl_3 tirpalui $\bar{V}_2^0 = 8,0 \text{ cm}^3/\text{mol}\text{iui}$. \bar{V}_2^0 priklausomybë nuo lantanoidø joninio radiuso pavaizduota 2 pav.; kaip matyti, \bar{V}_2^0 kinta netiesiðkai. Tai galima bûtø paaiðkinti hidratacinio skaiðiaus kitimu lantanoidø eilëje.

2 lentelë. LaCl_3 vandeniniø tirpalø akustiniai parametrai, $t=25,00^\circ\text{C}$

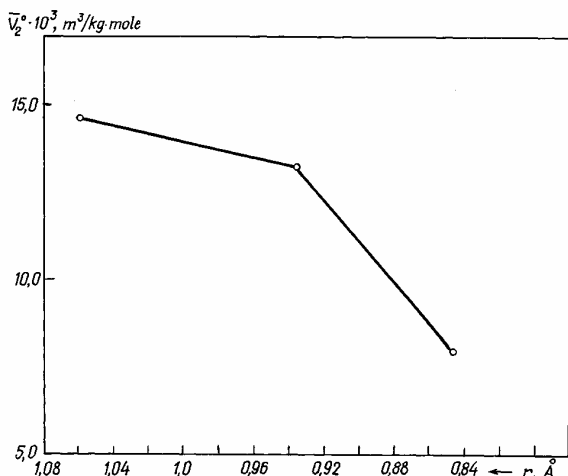
Koncentracija $m, \text{ mol/kg}$	Tankis $\rho, \text{ kg/m}^3$	Ultragarso greitis $c, \text{ m/s}$	Adiabatinis spûdumas $\beta \cdot 10^{11}, \text{ m}^2/\text{N}$	Tariamas molinis tûris $\varphi_v \cdot 10^3, \text{ m}^3/\text{kmol}$	Tariamas molinis spûdumas $\varphi_k 10^{15}, \text{ m}^5/\text{N mol}$
Dist.vanduo	997,075	1496,66	44,7735		
0,098	999,278	1497,60	44,62	19,84	-155,7
0,0183	1001,18	1498,54	44,48	19,89	-156,5
0,0372	1005,42	1500,50	44,17	20,04	-154,2
0,0562	1009,67	1502,45	43,87	20,22	-152,6
0,0743	1013,71	1504,36	43,59	20,39	-151,8
0,0954	1018,41	1506,39	43,27	20,60	-149,6
0,1428	1028,91	1511,00	42,57	21,09	-146,3
0,1862	1038,46	1515,22	41,94	21,52	-143,8
0,2821	1059,37	1525,84	40,54	22,45	-142,1
0,3745	1079,27	1534,55	39,34	23,29	-136,3
0,4865	1103,07	1545,80	37,94	24,26	-131,8
0,5852	1123,76	1554,90	36,80	25,05	-127,4
0,6900	1145,45	1565,15	35,64	25,84	-123,7
0,7575	0059,27	1572,80	34,87	26,33	-122,0
0,8709	1182,22	1585,00	33,67	27,11	-118,8
0,9981	1207,61	1597,10	32,46	27,92	-114,7
1,2886	1264,14	1625,40	29,94	29,59	-106,6
1,5725	1317,53	1655,07	27,71	31,03	-100,3
1,8149	1361,75	1679,16	26,04	32,12	-95,2

3 lentelė. GdCl_3 vandeniniø tirpalø akustiniai parametrai, $t=25,00^{\circ}\text{C}$

Koncentracija a m , mol/kg	Tankis ρ , kg/m ³	Ultragarso greitis c , m/s	Adiabatinis spûdumas $\beta \cdot 10^{11}, \text{m}^2/\text{N}$	Tariamas molinis tûris $\varphi_v \cdot 10^3, \text{m}^3/\text{kmol}$	Tariamas molinis spûdumas $\varphi_k 10^{15},$ $\text{m}^5/\text{N mol}$
0,03812	1006,42	1499,20	44,21	17,56	-142,7
0,05718	1011,07	1500,50	43,93	17,90	-141,5
0,07828	1016,20	1501,91	43,62	18,22	-140,1
0,10038	1021,56	1503,12	43,32	18,54	-137,4
0,14666	1032,73	1506,21	42,68	19,11	-135,3
0,19497	1044,32	1509,20	42,04	19,66	-132,6
0,29834	1068,90	1515,65	40,72	20,68	-127,9
0,39399	1091,39	1521,77	39,56	21,52	-124,2
0,49608	1115,14	1527,79	38,42	22,32	-120,0
0,59015	1136,79	1533,78	37,39	23,00	-116,9
0,70809	1163,63	1540,76	36,20	23,79	-112,9
0,80549	1185,54	1547,40	35,23	24,39	-110,3
0,89829	1206,22	1553,41	34,35	24,94	-107,8
0,99720	1228,58	1559,76	33,45	25,50	-105,07
1,19878	1271,80	1571,27	31,85	26,53	-99,7
1,5004	1335,60	1588,54	29,67	27,93	-92,7

4 lentelė. LuCl_3 vandeniniø tirpalø akustiniai parametrai, $t=25,00^{\circ}\text{C}$

Koncentracija m mol/kg	Tankis ρ , kg/m ³	Ultragarso greitis c , m/s	Adiabatinis spûdumas $\beta \cdot 10^{11}, \text{m}^2/\text{N}$	Tariamas molinis tûris $\varphi_v \cdot 10^3, \text{m}^3/\text{kmol}$	Tariamas molinis spûdumas $\varphi_k 10^{15},$ $\text{m}^5/\text{N mol}$
0,0950	1022,41	1503,86	43,25	13,55	-155,8
0,1956	1048,97	1510,53	41,78	14,52	-147,8
0,2914	1073,90	1517,56	40,43	15,75	-143,4
0,3925	1100,76	1525,02	39,06	14,88	-140,4
0,4660	1118,80	1530,85	38,14	17,29	-136,3
0,5886	1149,72	1540,93	36,64	18,46	-131,8
0,6926	1176,03	1548,64	35,46	18,86	-128,3
0,7847	1198,86	1556,97	34,41	19,54	-125,8
0,8986	1226,88	1566,35	33,22	20,24	-122,3
0,9562	1240,77	1572,82	32,58	20,73	-121,2
1,1554	1287,53	1589,43	30,74	22,68	-112,1
1,3862	1343,06	1606,12	28,86	23,08	-108,5
1,6102	1393,29	1624,65	27,19	24,79	-102,8
1,7982	1442,69	1643,47	25,66	22,73	-100,8
2,0429	1490,94	1660,81	24,32	26,07	-94,2



2 pav. V_2^0 priklausomybė nuo La, Gd ir Lu joninio radiuso

Mažėjant joniniam radiusui nuo La iki Lu, pavidaliaus krūvio tankis La-Gd-Lu eilėje didėja, ir tai turėtose sukelti retojų bems elementų jonų ir vandens molekulių, esančių aplink ūiuos jonus, dipolių sąveikos padidėjimą, dėl ko didėja bendra joninė hidratacija. Tačiau, kaip matyti iš 5 lentelės, Z_0 kinta netiesiokai. Speddingas ir bendraautoriai [3-4] iškélé hipotezę, kad didėjant lantanoidų eilės numeriui, keičiasi koordinacinis skaičius. Lantanui, ceriui ir neodimui koordinacinis skaičius didžiausias, lygus devyniems ir yra pastovus, o sunkiųjų retojų bems jonas (Tb-Lu) yra mažesnis vienetu. Nuo neodimo iki terbio (arba disprozio) egzistuoja pusiausvyra tarp dviejų akvakompleksų formų laipsniokai persiskirstant koordinaciniam skaičiui nuo didesnio lig mažesnio. Dėl koordinacinio skaičiaus kitimo lantanoidų eilėje galima paaiškinti nemonotoniočia termodinaminio ir kinetinio parametrų priklausomybę La-Gd-Lu eilėje.

Mūsų nustatytas hidratacinis skaičius Z_0 apima bendrą molekulių skaičių, priklausantą tiek katijonui, tiek anijonui. Matuojant ultragarso greitā 1-100 MHz diapazone, ultragarso greičio dispersija LaCl_3 , GdCl_3 , LuCl_3 [1,5] tirpaluose nebuvvo aptikta ir padaryta išvada, kad lantanoidų chlorido tirpaluose egzistuoja kompleksai su išorine koordinacine sfera. Tai patvirtina ir kitais metodais atlikti tyrimai, būtent, magnetinės branduolinės relaksacijos ir rentgenografiniu metodais [6] nustatyti išoriniai kompleksai $\text{La}^{3+}\dots\text{Cl}^-$, atstumas tarp jono $4,7 \cdot 10^{-10} \text{m}$, gadolinio kompleksai $\text{Gd}^{3+}\dots\text{Cl}^-$ atstumu ($4,8-5,0 \cdot 10^{-10} \text{m}$ [7]) ir darbe [8] tyrinėti koncentruoti TbCl_3 , DyCl_3 , ErCl_3 , TmCl_3

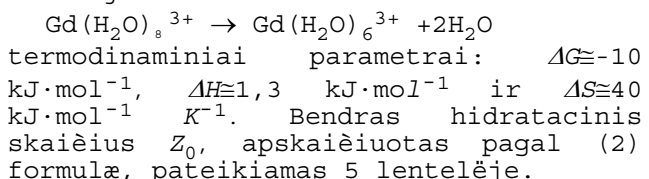
ir LuCl_3 vandeniniai tirpalai ir nustatyta, kad aštuanios vandens molekulių yra vidinėje Lu^{3+} koordinacinėje sferoje, atstumas $\text{Lu}^{3+}\text{-H}_2\text{O}$ yra $1,338 \cdot 10^{-10} \text{m}$, o $\text{Lu}^{3+}\dots\text{Cl}^-$ atstumas jonių poroje yra apie $4,8 \cdot 10^{-10} \text{m}$. Net koncentruotuose lantanoidų chlorido tirpaluose Cl^- ir Lu^{3+} jonių nesudaro kompleksai su vidine koordinacine sfera, bet didėjant koncentracijai, autorių [9] nuomone, gali būti pusiausvyra



kuri paslenka iš dešinė koncentruotuose tirpaluose.

Darbe [10] rentgenostruktūriniu metodu nustatyta, kad La^{3+} apsuptas trijų vandens molekulių atstumu $2,52 \cdot 10^{-10} \text{m}$ ir dar ūčio atstumu $2,8 \cdot 10^{-10} \text{m}$, taigi katijonas La^{3+} apsuptas devynių vandens molekulėmis. Chlorido hidratacinis skaičius 3,9 nustatytas koncentruotuose NdCl_3 tirpaluose, esant koncentracijai $2,85 \text{ M}$ [11]. Tariant, kad tokis Cl^- jono hidratacinis skaičius būtų ir praskiestuose LaCl_3 tirpaluose, mūsų nustatytas $Z_0=20,8$ tiksliai sutaptos su autorių [10] išvadomis.

Ilgą laiką buvo laikoma, kad Gd^{3+} vandeniniuose tirpaluose egzistuoja pusiausvyroje tarp $\text{Gd}(\text{H}_2\text{O})_8^{3+}$ ir $\text{Gd}(\text{H}_2\text{O})_9^{3+}$. Tačiau iš spektrometrinių matavimų [12] pagal temperatūrinę priklausomybę buvo apskaičiuoti reakcijos



5 lentelė Φ_k^0 ir Z_0 , reikmės

Elektrolitas	$\Phi_k^0 \cdot 10^{15}, \text{m}^5/\text{N mol}$	Z_0
LaCl_3	-168	20,8
GdCl_3	-158	19,5
LuCl_3	-175	21,6

Be to, iš ultragarsinių matavimų nustatėme, kad Gd^{3+} hidratuoja su mažesniu H_2O molekulių skaičiumi. Darbe [8] autoriai daro išvadą, kad nuo Tb^{3+} iki Lu^{3+} lantanoidų koordinacija yra aštuanis, ūčios vandens molekulių ir du chlorido jonių yra vidinėje koordinacinėje sferoje, trečias chlorido jonas yra nesurištas su lantanoido jonus. Priimant tokią struktūrą, ir kad chlorido hidratacinis skaičius yra 3,9, bendras vandens molekulių skaičius apie liutecio jona esti 21,8, radome, kad LuCl_3 bendra hidratacija $Z_0=21,6$.

Taigi iš ultragarsinių matavimų nustatėme individualių lantanoidų jonių hidratacijų tirpaluose.

Literatūra

- 1.B.Voleiðienë, A.Voleiðis, E.Yaronis.** Ultrasonic velocity dispersion study in aqueous solutions of lanthanide salts// Proceed of the Int.Symp.on Rare Earth Spectroscopy, Wroclaw, Poland, 1984. P.219-224.

2.F.H.Spedding, V.W.Saeger et al. Densities and apparent molal volumes of some aqueous rare earth solutions at 25°C. I. Rare earth chlorides// J.Chem. Eng.Data. 1975, vol.20, No 1. P.72-80.

3.W.M.Gildseth, A.Habenschuss, F.H.Spedding. Densities and thermal expansion of some aqueous rare earth chloride solutions between 5° and 80°C. I. LaCl₃, PrCl₃ and NdCl₃// J.Che.Eng.Data. 1975, vol.20, No 3. P.292-309.

4.A.Habenschuss, F.H.Spedding. Densities and thermal expansion of some aqueous rare earth chloride solutions between 5° and 80°C. II. SmCl₃, GdCl₃, DyCl₃, ErCl₃ and YbCl₃// J.Chem.Eng.Data, 1976, vol.21, No 1. P.95-113.

5.Á.Áñéáðóá, Á.Ðóáðóá. Ëññéáðááñéá ñòðóðéðóðíûò ñáñéñðó áññéñðó ðáñðóðíðá ðéñðéñðóáá èñðóðáá// Íáðóðíûò ðóðáú áðóçá Èéð., Öüøððåçáóé, 1990á No 22. C.115-121.

6.A.Habenschuss, F.H.Spedding. The coordination (hydration) of rare earth ions in aqueous chloride solutions from X-ray diffraction. II. LaCl₃, PrCl₃, NdCl₃// J.Chem.Phys, vol.70, No 8, 1979. P.3758-3767.

7.M.L.Steele, D.L.Wertz. Solute complexes in aqueous gadolinium (III) chloride solutions// J.Am.Chem.Soc., 1979, vol.98, No 18. P.4424-4428.

8.A.Habenschuss, F.H.Spedding. The coordination (hydration) of rare earth ions in aqueous chloride solutions from X-ray diffraction. I. TbCl₃, DyCl₃, ErCl₃ and LuCl₃// J.Che.Phys, vol.70, No 16, 1979, P.2797-2806.

9.Á.Í.Óððàñá, Á.À.Èéðíñý, Ñ.Á.Ðóáðó, P.Á.Áñéáðáá, Á.Á.Í.Íapõþééí. Ëññéáðááñéá ãññéñðó ðáñðóðíðá ñíéáé èñðóðáá (III) íáðóðíûò ëñð La¹³⁹ è Sc¹⁴⁵ // Ëññðéñðóðéññáy ðéñðéñðá, 1983, ð.9, áññ.2, c.205-209.

10.Á.È.Áñðó. Ñòðóðéðóðá ëññéáðááñéá ñèñðóáí. Ëññðáá, Áèøðøééá, 1981, - 175 c.

11.H.B.Silber. Ultrasonic investigations of lanthanide complexation reactions in aqueous organic solvents// J.Less-common metals, vol.112. 1985. P.207-219.

12.G.R.Choppin. Lanthanide complexation in aqueous solutions // J.Less-common metals, vol.100, 1984. P.141-151.

Studies of the hydration of ions La³⁺, Gd³⁺ and Lu³⁺ in chloride solutions by ultrasonic interferometric method

B.Voleiðienë, G.Miglinienë, A.Voleiðis

Summary

Results of concentrational dependencies of ultrasound velocity, adiabatic and apparent molal compressibilities, apparent molal and partial volumes of LaCl₃, GdCl₃ and LuCl₃ solutions at 25 °C are presented. Total hydration numbers for investigated solutions were determined from ultrasonic measurements.